

07; 12

© 1992

## БЕЗДИСПЕРСИОННЫЙ ИНТЕРФЕРОМЕТР ДЛЯ РЕГИСТРАЦИИ СВЕХМАЛЫХ ПЕРЕМЕЩЕНИЙ

Ю.В. Т р о и ц к и й

В задаче регистрации гравитационных волн основные надежды сейчас связаны с использованием оптических интерферометров. При современном уровне технологии многолучевые интерферометры (И) в принципе позволяют регистрировать перемещение порядка  $10^{-20}$  м/Гц $^{1/2}$  при выделяемой в И мощности 1 Вт для тех случаев, когда чувствительность определяется дробовыми шумами и нагревом интерферометра от падающего света [1]. Если база И равна  $l$ , и мы хотим ее измерить с точностью  $\Delta l$ , то должны иметь лазер с относительной шириной спектра  $\Delta\lambda/\lambda < \Delta l/l$ . Даже если взять очень короткий интерферометр, например,  $l = 10^{-6}$  м, то для измерения перемещений  $\Delta l \sim 10^{-20}$  м необходимо обеспечить условие  $\Delta\lambda/\lambda < 10^{-14}$ , что близко к рекордным значениям ширины спектра и стабильности, достигнутым в лазерах.

Однако при очень малых значениях  $l$  имеется возможность изготовитель И, малочувствительный к изменению частоты света и одновременно с этим сохраняющий чувствительность к изменениям  $l$ .

Условие резонанса в двухзеркальном интерферометре Фабри-Перо имеет вид

$$4\pi l/\lambda - \psi_1 - \psi_2 = 2\pi m, \quad (1)$$

где  $\psi_1$  и  $\psi_2$  – фазы отражения от зеркал,  $m$  – целое число. Все три слагаемых в левой части зависят от частоты, и только первое – от  $l$ . Задача заключается в том, чтобы подобрать зеркала с функциями  $\psi_1(\lambda)$  и  $\psi_2(\lambda)$ , которые компенсировали бы дисперсию члена  $4\pi l/\lambda$  хотя бы в узком частотном интервале. Для обычных четвертьвольновых диэлектрических зеркал в области высокого отражения  $d\psi/d\lambda > 0$ , т.е. зеркала как бы „удлиняют“ интерферометр и увеличивают его частотную дисперсию. Однако существует возможность модифицировать функцию  $\psi(\lambda)$ , изменяя структуру зеркал. В нашем случае требуется  $d\psi/d\lambda < 0$ .

Предположим, что для длины волны  $\lambda$ , резонанс И имеет место при  $l = l_0$ . Тогда для  $\lambda = \lambda_0 + \Delta\lambda$ , согласно (1), резонансная длина равна  $l = l_0 + \Delta l$ ,

$$\Delta l = \alpha_1 \cdot \Delta\lambda + \alpha_2 \cdot (\Delta\lambda)^2 + \dots, \quad (2)$$

где

$$\alpha_1 = \frac{1}{4\pi} \left[ \psi_1 + \psi_2 + \lambda \frac{d(\psi_1 + \psi_2)}{d\lambda} + 2\pi m \right]_{\lambda=\lambda_L}, \quad (3)$$

$$\alpha_2 = \frac{1}{8\pi} \left[ 2 \frac{d(\psi_1 + \psi_2)}{d\lambda} + \lambda \frac{d^2(\psi_1 + \psi_2)}{d\lambda^2} \right]_{\lambda=\lambda_1}, \quad (4)$$

и т.д.

Мы нашли несколько вариантов расположения слоев в многослойном диэлектрическом зеркале, которые позволяют на одной частоте сделать равным нулю старший член ряда (2),  $\alpha_1 = 0$ . На рис. 1 показана расчетная зависимость фазы отражения  $\psi$  от длины волны  $\lambda$  для 21-слойного зеркала со структурой  $(HL)^7xH(LH)^3G$ . Здесь буквой  $H$  обозначен слой диэлектрика с показателем преломления  $n_H$  и оптической толщиной  $\lambda_0/4$ ,  $L$  - такие же четвертьволновые слои диэлектрика  $n_L$ ,  $G$  - подложка с показателем преломления  $n_G$ ;  $xH$  - слой диэлектрика  $n_H$  с оптической толщиной  $x\lambda_0/4$ . При расчете были приняты значения  $n_H = 2.3$ ,  $n_L = 1.35$  и  $n_G = 1.46$ . Кривые 1, 2 и 3 соответствуют  $x = 2$ ,  $x = 2.02$  и  $x = 2.08$ . Видно, что на каждой кривой есть участок, где  $d\psi/d\lambda < 0$  при высоком коэффициенте отражения зеркала  $R$ .

Полученные функции  $\psi(\lambda)$  подставлялись в (1), и находились значения резонансной длины интерферометра  $l$ ,  $l > 0$ , представленные на рис. 2 кривыми 1, 2 и 3, которые соответствуют кривым рис. 1. Считалось, что зеркала И одинаковы:  $\psi_1 = \psi_2 = \psi$ ;  $m = -1$ . Кривая 1 при  $x = 2$  имеет один экстремум (точка А), кривые 2 и 3 - по 2 экстремума (точки В и С, Д и Е). В этих точках  $\alpha_1(\lambda) = 0$  и отсутствует дисперсия интерферометра в том смысле, что изменение  $\lambda$  не сдвигает резонансную длину  $l$ . В то же время высокая чувствительность к изменению  $l$  сохраняется. В точках экстремумов  $R = 0.97$ . Таким образом, в принципе можно реализовать „бездисперсионный“ измеритель перемещений.

Сделаем оценку получаемого выигрыша. Например, вблизи точки  $D$  зависимость смещения  $\Delta l$  резонансной длины от  $\lambda$ , как показывает обмер графика рис. 2, имеет вид  $\Delta(l/\lambda_0) = 160 [\Delta(\lambda/\lambda_0)]^2$ . Возьмем легко достижимую в случае газовых лазеров величину нестабильности  $\Delta\lambda/\lambda \sim 10^{-8}$ . Тогда в окрестности точки  $D$  получаем  $\Delta l/\lambda \sim 1.6 \cdot 10^{-14}$ . Если взять  $\lambda = 0.5 \cdot 10^{-6}$  м, то получается  $\Delta l \sim 0.8 \cdot 10^{-20}$  м. Это представляет оценку порядка величины измеряемых перемещений, при которых на работу И начинает влиять немонохроматичность источника. Для сравнения, на линейном участке кривой 3 имеем  $\Delta(l/\lambda_0) \approx 0.6 \Delta(\lambda/\lambda_0)$ , и при тех же значени-

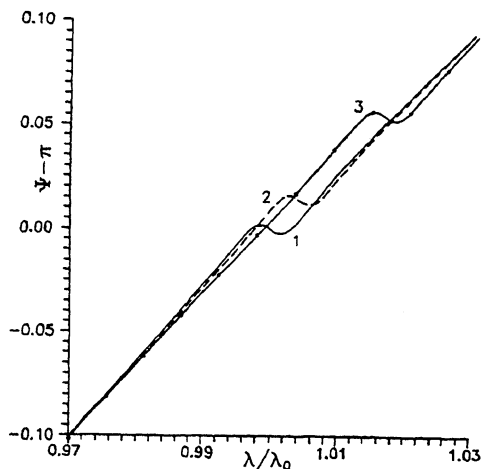


Рис. 1. Зависимость фазы отражения от длины волны для трех вариантов структуры 21-слойного диэлектрического зеркала. Все слои имеют оптическую толщину  $\lambda_o/4$ , за исключением 7-го слоя (считая от подложки), для которого толщина равна  $2\lambda_o/4$  (кривая 1),  $2.02\lambda_o/4$  кривая 2) или  $2.08\lambda_o/4$  (кривая 3).

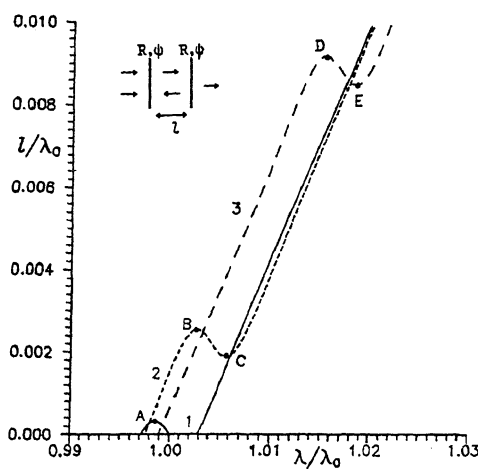


Рис. 2. Зависимость резонансной длины интерферометра  $l$  от длины волны падающего света  $\lambda$  для трех вариантов зеркал. В точках А, В, С, Д и Е настройка интерферометра не зависит от длины волны.

ях ширины спектра источника и длины волны  $\lambda$  получаем  $\Delta l \sim 0.3 \times 10^{-14}$  м. Такая же оценка  $\Delta l$  получается при использовании обычных диэлектрических зеркал, в которых все слои четвертьволновые. Таким образом, для данного конкретного примера переход на „бездисперсионный“ вариант интерферометра позволяет на 6 по-

рядков увеличить чувствительность к перемещениям, если она определяется шириной спектра источника. Вместо этого можно перейти к более простым лазерам, например, полупроводниковым.

Можно высказать предположение, что описанный метод открывает путь к новому варианту экспериментальной реализации оптических интерференционных детекторов гравитационных волн. Возможно дальнейшее совершенствование метода - например, увеличение базы интерферометра, получение более "плоской" характеристики  $I(\lambda)$ , т.е. выполнение условий  $a_2 = 0$ ,  $a_3 = 0$  и т.д.

Необходимо также разрешить вопрос об увеличении эффективного коэффициента отражения зеркал в рабочей точке и преодолеть экспериментальные трудности, связанные с малой базой интерферометра.

#### С п и с о к л и т е р а т у р ы

- [1] Троицкий Ю.В. // Квантовая электроника. 1983. Т. 10.  
С. 2039-2044.

Поступило в Редакцию  
29 мая 1992 г.

В окончательной редакции  
15 ноября 1992 г.